

СПЕКТР МАЛЫХ ВОЗМУЩЕНИЙ ПЛОСКОГО ТЕЧЕНИЯ КУЭТТА

В. Н. Штерн

(Новосибирск)

В работе [1] изучено поведение спектра собственных значений в общем случае течений в плоскогопараллельном канале при малых числах Рейнольдса R . Непосредственный численный расчет спектра малых возмущений для плоских течений Күэтта и Пуазейля, проведенный в работах [2–4], охватывает сравнительно широкий диапазон изменения R , но выполнен для фиксированных значений волнового числа α из довольно узкого диапазона.

В данной работе изучается зависимость спектра собственных значений от волнового числа во всем диапазоне его изменения для случая плоского течения Күэтта.

Задача сводится к отысканию собственных значений уравнения

$$\begin{aligned} \varphi^{VI} - 2\alpha^2\varphi'' + \alpha^4\varphi = i\alpha R (y - C) (\varphi'' - \alpha^2\varphi) \\ - 1 \leq y \leq 1, \varphi'(\pm 1) = \varphi(\pm 1) = 0 \end{aligned} \quad (1)$$

Здесь $\varphi(y)$ — комплексная амплитуда функции тока возмущенного движения, $C = X + iY$ — искомое собственное значение, X имеет физический смысл фазовой скорости, случай $Y < 0$ соответствует затуханию возмущения.

При малых α поведение спектра собственных значений можно описать зависимостями

$$X_k = 0, \quad Y_k = -\beta_k^2 / \alpha R, \quad k = 1, 2, 3, \dots \quad (2)$$

Здесь β_k — занумерованные в порядке возрастания модуля корни уравнения

$$(\beta \operatorname{tg} \beta + \alpha \operatorname{th} \alpha) (\alpha \operatorname{tg} \beta - \beta \operatorname{th} \alpha) = 0 \quad (3)$$

При больших α для всех спектральных номеров выполняется асимптотическая зависимость

$$Y_k = -\alpha / R, \quad k = 1, 2, 3, \dots, \quad (4)$$

Таким образом, роль непосредственного численного расчета сводится к заполнению «пробела» между областями, где справедливы зависимости (2) и (4). Расчеты проводились на БЭСМ-6 с использованием метода пошагового интегрирования [5], модифицированного для несимметричных профилей скорости.

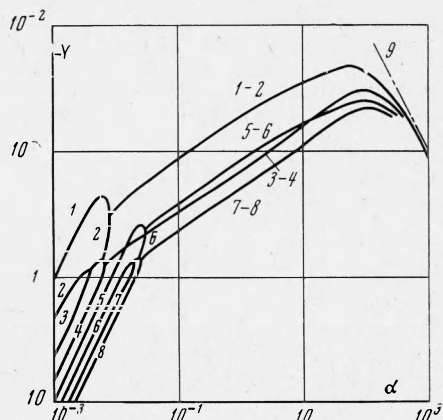
На фиг. 1 представлены зависимости $Y_k(\alpha)$ для $R = 10^4$, $k = 1, \dots, 8$. Линия 9 соответствует зависимостям (4). На фиг. 2 показано расположение собственных значений в комплексной плоскости $C = X + iY$ при изменении α . Линия $X = 0$ — ось симметрии.

В соответствии с общими закономерностями [1] для малых α возмущения затухают, оставаясь монотонными ($X = 0$). При некоторых α появляются точки кратности собственных значений, после чего возмущения начинают носить волновой характер, причем возникает пара волн, имеющих общий характер затухания Y и фазовую скорость $|X|$, но бегущих в противоположных направлениях. Поскольку собственная функция обычно отлична от нуля лишь в малой окрестности точки $y_c = X$, то волны распространяются каждая в своей половине потока.

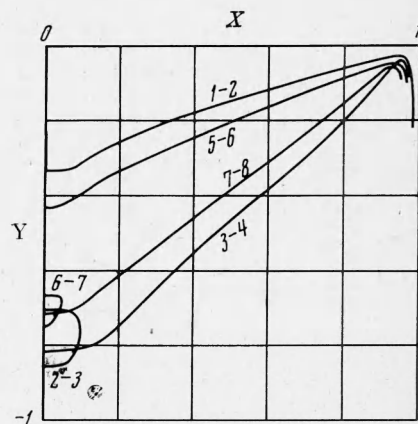
Однако структура спектра здесь сложнее по сравнению со случаями, рассмотренными в работах [2–4], и обнаруживаются новые интересные эффекты, связанные с точками кратности. После точки кратности второго и третьего собственных значений при $\alpha = 0.0038$ для этой пары с ростом α сначала $|X|$ растет, но затем вновь убывает до нуля при $\alpha = 0.0057$, где второе и третье собственные значения опять имеют точку кратности, далее разделяются и становятся чисто мнимыми. С увеличением α далее Y_3 уменьшается до точки кратности третьего собственного значения с четвертым (до этого бывшим чисто мнимым) при $\alpha = 0.006$ и затем образуется комплексно-сопряженная пара декрементов iC_k ($k = 3, 4$). Несколько позднее при $\alpha = 0.008$ происходит слияние второго и первого собственных значений, после чего образуется комплексно-сопряженная пара iC_k ($k = 1, 2$).

В дальнейшем никаких перестроек эта четверка собственных значений не претерпевает. Для всех k $|X|_k$ растут и при $\alpha \rightarrow \infty$ стремятся к единице, т. е. возмущения локализуются у стенок. При этом $Y_{1,2}$ и $Y_{3,4}$ также растут, достигают максимальных значений — 0.021 и —0.033 при α , равных 59 и 105 соответственно, а затем убывают и выходят на асимптотическую зависимость (4).

Аналогичным образом ведет себя другая четверка собственных значений $k = 5, 6, 7, 8$. Характерно, что если при средних значениях α наблюдается пересечение зависимостей $Y_k(\alpha)$ для разных k , то, приближаясь к асимптотической зависимости (4), декременты вновь выстраиваются в том же порядке, что и при малых α . На фиг. 2 видно, что точки, в которых Y достигает наибольшего значения



Фиг. 1



Фиг. 2

для всех спектральных номеров k , лежат в окрестности $C = \pm 1$. Расчеты показывают, что точки $C = \pm 1$ будут предельными для собственных значений при произвольных фиксированных α и k и при $R \rightarrow \infty$.

Поступила 15 IV 1969

ЛИТЕРАТУРА

- Бирюк Р. В., Гершунин Г. З., Жуховицкий Е. М. О спектре возмущений плоскопараллельных течений при малых числах Рейнольдса. ПММ, 1965, т. 29, вып. 1.
- Gallagher A. P., Mergse A. McD. On the behavior of small disturbances in plane Couette flow, pt. 2. Higher eigenvalues. J. Fluid Mech., 1964, vol. 18, pt 3, pp. 350—352.
- Бирюк Р. В. О спектре малых возмущений плоскопараллельного течения Куэтта. ПММ, 1965, т. 29, вып. 4.
- Grosch C. E., Salvendy H. The stability of steady and time-dependent plane Poiseuille flow. J. Fluid Mech., 1968, vol. 34, pt 1, pp. 177—205.
- Гольдштук М. А., Сапожников В. А. Устойчивость ламинарного потока в присутствии поля массовых сил. Изв. АН СССР, МЖГ, 1968, № 5.

ВЛИЯНИЕ КОНЦЕВЫХ ИМПЕДАНСОВ НА СОБСТВЕННЫЕ ЧАСТОТЫ АКУСТИЧЕСКОГО РЕЗОНАТОРА

В. А. Груздев, В. И. Слабян

(Новосибирск)

Для исследования скорости распространения звука в газах часто используют акустический резонатор (труба, закрытая на одном конце излучателем, на другом — приемником звука). Влияние импеданса излучателя Z_0 и приемника Z_L на собственные частоты резонатора обычно учитывают введением эффективной длины резонатора, которая определяется из тарировочных опытов. Однако это не всегда приводит к правильным результатам, так как Z_0 и Z_L , а следовательно, и эффективная длина резонатора зависят не только от конструкции излучателя и приемника звука, но и от условий опыта и рода исследуемого газа.